

О.В. Ляпіна, А.І. Костржицький
**До питання щодо вологостійкості конденсованих систем
мідь-олово і їх аналогів**

*Одеська національна академія харчових технологій,
вул. Канатна, 112, м. Одеса, 65039,
E-mail: profAIK@ipss.net*

Приведені результати дослідження вологостійкості конденсуючих плівок сплавів на основі міді у вологій атмосфері. По характеру зміни контактної опору визначені найбільш стійкі і найбільш стабільні системи Cu-Sn, Cu-Sn-Ni і Cu-Sn-Al. З використанням методу рангової кореляції проведений порівняльний аналіз конденсуючих систем і вибраний оптимальний склад по параметру “вологостійкість”.

Ключові слова: вологостійкість, опір, плівка, рангова кореляція.

Стаття поступила до редакції: 23.03.2005; прийнята до друку: 30.05.2005

I. Вступ

Використання конденсованих плівок сплавів міді замість дорогоцінних металів [1] у різних елементах пристроїв електронної техніки, що працюють без додаткового захисту від впливу навколишнього середовища, передбачає наявність інформації про характер зміни основних функціональних характеристик плівок у зовнішніх умовах [2,3]. Типовим тестуванням різних елементів електронної техніки є зміна електропараметрів у вологій атмосфері. Нами проведені дослідження з вивчення вологостійкості плівок сплавів Cu-Sn і їхніх аналогів, рекомендованих до використання замість дорогоцінних металів [4,5].

II. Методика експерименту й обробки даних

Оцінка фізико-хімічної взаємодії конденсованих плівок сплавів Cu-Sn, Cu-Sn-Al і Cu-Sn-Ni і їхньої стійкості у вологій атмосфері проведена за даними контактної опору ΔR_k (ΔR_k – зміни контактної опору плівок у парі з різними контактами). В умовах експлуатації плівок без додаткового захисту від впливу навколишнього середовища очікуване поведіння конденсатів можна оцінити за даними електрохімічних досліджень [4,6,7], однак, при роботі в парі з рухомими контактами, поряд зі зміною електропараметрів конденсатів, варто очікувати і зміну характеристик системи “плівка – рухомий контакт” у цілому. Кількісним показником

може служити контактний опір R_k і його зміна ΔR_k безпосередньо в точці дотику рухливого контакту і плівки.

У розвитку положень і висновків робіт [4,6,7] про властивості конденсатів системи Cu-Sn і їхніх аналогів у різних агресивних середовищах, у рамках дійсного дослідження вивчені особливості електропараметрів системи “плівка – рухомий момент” в умовах, наближених до реальних умов експлуатації [8]. Зразки конденсатів для досліджень були отримані випаровуванням кінцевих навішень сплавів міді (режими одержання описані в [2]) з наступною конденсацією на гетинакс – підкладка, що не підігрівається, – і на скло і кераміку (температура осадження порядку 600 К). Як контакти, використані нікелеві і бронзові (2 типи) сферичні контакти, а також графітові плоскі контакти. Вивчення зміни опору R_k контактної вузла проводилося за методикою, описаною в [9]. Умови досліджень були наступні: камера тепла і вологи (298 К и 308 К, вологість 100 %).

У ході попередніх досліджень було встановлено, що контактний опір R_k істотно залежить від величини зусилля, що притискає, P , виду підкладки і форми контактуючих поверхонь. У загальному виді залежність $R_k = f(P)$ описується формулою:

$$R_k = k \cdot P^{-n}, \quad (1)$$

де n – параметр, що характеризує форму контакту (для точно-сферичного $n = 0,5$; для лінійного $n = 0,5 \dots 0,7$; для плоского $n = 1,0$);

k – постійна, залежна від виду матеріалу і стану поверхні контакту. Так, для мідних очищених і

луджених неочищених контактів $k = 10^{-4} \dots 3 \cdot 10^{-3}$, для постріблених контактів $k = 6 \cdot 10^{-7}$.

У наших дослідженнях показано, що основний вплив навантаження на значення R_k має місце при величинах P порядку 0,1...0,5 Н. Збільшення P до 1,0...10 Н не змінює значення R_k . Крім того, величина R_k залежить від матеріалу підкладки і від товщини півки. Чисельні значення R_k , отримані на склі і на кераміці, у 3...5 разів вище, ніж на гетинаксі. Це зв'язано з різною твердістю підкладок. Товщина півки впливає на значення R_k тільки при малій товщині – 0,1...0,8 мкм. З ростом товщини величина R_k різко падає і, починаючи з товщини півки 1,0...1,2 мкм і більш від товщини конденсату не залежить.

У табл. 1 і на рис. 1 приведені дані про вплив складу конденсованих шарів на значення R_k . Характерним є немонотонний хід залежності $R_k = f(\% \text{ Sn})$: при вмісті олова порядку 37...42 % фіксується максимальне значення R_k .

Це узгоджується з діаграмою стану і з даними по

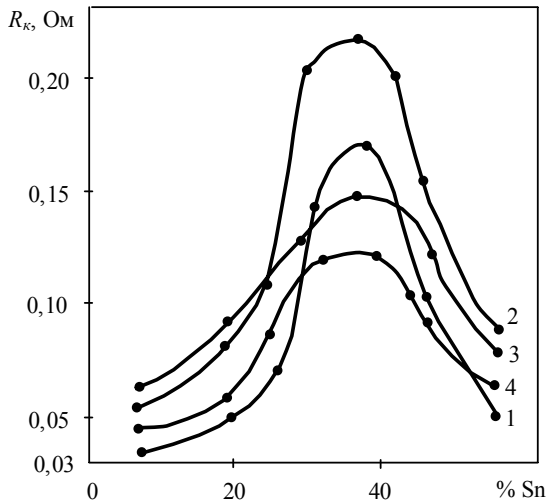


Рис. 1. Залежність R_k системи “плівка-рухомий контакт” сплаву Cu-Sn від вмісту олова: 1, 2 – нікель; 3 – бронза 1, 4 – бронза 2; 1, 3, 4 – $P = 10$ Н; 2 – $P = 0,1$ Н

питомому опору півок системи Cu-Sn [2,5]. Величина R_k двох дотичних поверхонь залежить від твердості півки і її електричних властивостей. Для діапазону 37...42 % Sn характерна висока твердість півок [10] і їхня підвищена крихкість. Візуально виявлено, що навіть при незначних навантаженнях на контакт (0,05...0,08 Н) відбувається розтріскування півок. Таким чином, при постійному зусиллі, що притискає, для довільного контакту ефективна площа контакту пропорційна твердості півки, що і пояснює встановлену експериментально залежність $R_k = f(\% \text{ Sn})$.

У випадку графітового контакту залежність $R_k = f(\% \text{ Sn})$ виражена нечітко (табл. 1). Це пояснюється двома причинами. По-перше, графіт має істотно більш низьку твердість у порівнянні з твердістю півок, що забезпечує практично постійну площу контакту. По-друге, власний опір графітового контакту складає 4...6 Ом, що не дозволяє виділити зміну R_k , обумовлене складом півки: $\Delta R_k = 0,1 \dots 0,25$ Ом.

На рис. 2 приведені результати досліджень зміни R_k у вологій атмосфері при 308 К. Аналогічні дослідження при кімнатній (298 К) температурі показали слабкий вплив даних умов експлуатації на значення контактного опору. Найбільш стабільні значення R_k відзначені для системи Cu-Sn при вмісті олова 50...60 %, а також для системи Cu-Sn-Ni. Дослідження поверхні півок під мікроскопом показали наявність тріщин на поверхні півок, що обумовлює різке зростання R_k при вмісті олова 33...38 % (криві 3 і 3'). У той же час, наявність мікротріщин на поверхні півок інших сполук не супроводжується зміною R_k . При малих зусиллях, що притискають, ($P = 0,1 \dots 0,4$ Н) на величину R_k можуть робити вплив різні поверхневі півки, в основному оксиди і сульфід, характерні для вологої чи для промислової атмосфери. Однак, дослідження закономірностей росту таких півок на поверхні сплавів Cu-Sn і Cu-Sn-Ni показують, що вони не можуть зробити істотного впливу на величину R_k внаслідок своєї малої товщини.

Таблиця 1

Контактний опір R_k системи “плівка-рухомий контакт” (вихідна система)

№ зразка	Склад півки, інше мідь			Значення R_k , Ом, у парі з контактом:			
	% Sn	% Ni	% Al	Нікель	Бронза 1	Бронза 2	Графіт
1	7,5	–	–	0,039	0,059	0,042	3,9
2	28	–	–	0,080	0,078	0,057	3,52
3	33	–	–	0,242	0,149	0,145	3,33
4	40	–	–	0,295	0,197	0,181	3,42
5	45	–	–	0,059	0,073	0,061	5,07
6	56	–	–	0,053	0,071	0,051	3,67
7	28	1,65	–	0,119	0,111	0,092	3,94
8	56	1,62	–	0,064	0,071	0,057	3,93
9	27	–	3,5	0,232	0,202	0,149	4,11
10	51	–	3,0	0,074	0,094	0,069	3,66

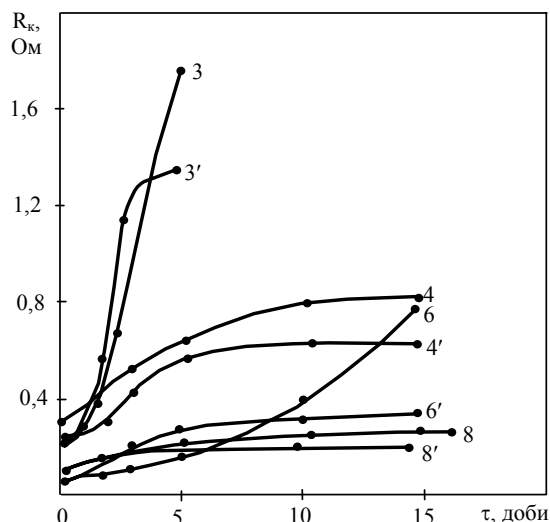


Рис. 2. Залежність R_k плівок Cu-Sn у парі з бронза 1 (3,4,6,8) і бронза 2 (3',4',6',8') від часу досліджень в камері тепла і вологи (308 К, вологість 100%). Номера кривих відповідають номерам зразків по табл. 1.

Для проведення порівняльної оцінки різних по складу систем був застосований метод рангової кореляції, основні положення якого розглянуті в [11]. Відповідно до цього методу, кожному

значенню ΔR_k був присвоєний ранг, визначений після закінчення досліджень. Ранг вказує, на те місце, що займає об'єкт серед інших n об'єктів, ранжированих відповідно до ознаки "X". У нашому випадку об'єктом "X" були $\langle \Delta R_k \rangle$ і S^2 ($\langle \Delta R_k \rangle$ – усереднене значення зміни контактного опору, S^2 – вибіркова дисперсія, обумовлена по формулі

$$S^2 = \frac{\sum_{i=1}^n (\Delta R_{ki} - \langle \Delta R_k \rangle)^2}{n-1} \quad (2)$$

Критерії ранжирування обрані в такий спосіб: більш високим значенням $\langle \Delta R_k \rangle$ і S^2 привласнювався більш високий ранг. Конденсовані системи, що розрізняються по ΔR_k не більш ніж на 0,5 Ом і по S^2 не більш, ніж на 0,2, мали однаковий ранг.

III. Обговорення результатів

Результати короткочасних досліджень на вологостійкість (табл. 2) показали, що всі досліджені системи мають приблизно однаковий порядок $\langle \Delta R_k \rangle$ і S^2 . У той же час, найбільш стабільні значення $\langle \Delta R_k \rangle$ і мінімальні величини

Таблиця 2

Статистична обробка результатів короткочасних досліджень конденсованих систем Cu-Sn і їхніх аналогів на вологостійкість ($T = 298$ К, $\tau = 144$ години, вологість 95 %)

№ п/п	Склад конденсату, % (ост. Cu)			$\langle \Delta R_k \rangle$, Ом	S^2
	Sn	Al	Ni		
1	42,6	–	–	0,6	0,20
2	22,4	–	–	0,6	0,23
3	49,2	–	–	0,8	0,16
4	50,5	–	–	0,8	0,31
5	25,0	–	–	1,0	0,11
6	55,2	–	–	1,0	0,18
7	38,0	–	–	1,1	0,49
8	10,1	1,04	–	0,6	0,09
9	24,6	2,44	–	0,6	0,31
10	8,7	0,62	–	0,6	0,39
11	29,2	1,60	–	1,0	0,21
12	25,3	5,41	–	1,1	0,09
13	48,2	2,05	–	2,4	1,91
14	18,0	–	1,45	0,7	0,49
15	51,0	–	1,07	0,9	0,35
16	53,5	–	2,26	1,0	0,11
17	64,0	–	0,77	1,0	0,67
18	16,8	–	0,68	1,1	0,14
19	44,0	–	2,30	1,4	0,37
20	38,3	–	0,90	1,4	0,65
21	25,0	–	2,62	2,6	3,74

Таблиця 3

Статистична обробка результатів тривалих досліджень на вологостійкість (контакти бронзові)

№ п/п	Склад конденсату, % (ост. – мідь)			Бронза 1		Бронза 2	
	Sn	Al	Ni	$\langle \Delta R_k \rangle$, Ом	S^2	$\langle \Delta R_k \rangle$, Ом	S^2
1	10,2	–	–	0,01	0,002	3,58	25,39
2	23,6	–	–	0,67	0,675	0,59	0,171
3	37,6	–	–	0,62	0,117	0,61	0,36
4	45,0	–	–	7,40	153,8	1,47	2,96
5	61,5	–	–	-0,10	0,0005	-0,15	0,003
6	43,2	–	0,9	17,9	489	54,5	2708,0
7	61,5	–	2,1	-0,14	0,0008	-0,31	0,056
8	10,8	0,98	–	0,6	0,005	0,27	0,03
9	23,3	0,88	–	13,2	0,64	24,6	272,0
10	36,0	5,3	–	45,3	625,0	44,0	144,0
11	42,6	4,7	–	43,0	1216,0	65,0	630,0

Таблиця 4

Статистична обробка тривалих досліджень на вологостійкість (контакт – графіт)

№ п/п	Склад конденсату, % (ост. Cu)			$\langle \Delta R_k \rangle$, Ом	S^2
	Sn	Al	Ni		
1	11,2	–	–	1,6	3,56
2	23,4	–	–	16,1	100,0
3	37,5	–	–	25,2	343,0
4	44,5	–	–	13,5	107,8
5	62,0	–	–	0,73	0,25
6	43,2	–	2,1	-13,0	2377
7	61,5	–	0,98	2,8	9,82
8	10,8	0,98	–	1,7	0,98
9	23,5	0,88	–	21,0	1,0
10	36,0	5,3	–	31,0	156,0
11	42,5	4,7	–	33,0	937,0

Таблиця 5

Порівняльний аналіз вологостійкості конденсованих систем Cu-Sn і їхніх аналогів за даними рангової кореляції

№ п/п	Склад конденсату, % (ост. мідь)			Ранг показників по контактах						Σ рангів
				Бронза 1		Бронза 2		Графій		
	Sn	Al	Ni	$\langle \Delta R_k \rangle$, Ом	S^2	$\langle \Delta R_k \rangle$, Ом	S^2	$\langle \Delta R_k \rangle$, Ом	S^2	Загальний ранг
1	10...12	–	–	2,0	3,0	7,0	7,0	3,5	4,0	26,5/4
2	23...24	–	–	5,0	6,5	4,0	2,5	6,0	6,0	31,0/5
3	37...38	–	–	5,0	3,0	4,0	5,0	9,0	9,0	33,0/6
4	44...45	–	–	7,0	8,0	6,0	6,0	6,0	7,0	40,0/7
5	61...62	–	–	2,0	3,0	1,5	2,5	2,0	1,0	12,0/1
6	43...43	–	1...2	9,0	9,0	10,0	11,0	1,0	11,0	51,0/9
7	61...62	–	1...2	2,0	3,0	1,5	2,5	5,0	5,0	18,0/2
8	10...12	1...2	–	5,0	3,0	4,0	2,5	3,5	2,5	20,5/3
9	20...25	1...3	–	8,0	6,5	8,0	9,0	8,0	2,5	42,5/8
10	35...37	2...5	–	11,0	10,0	9,0	10,0	10,0	8,0	56,0/10
11	40...43	2...4	–	10,0	11,0	11,0	10,0	11,0	10,0	63,0/11

S^2 мають системи Cu-Sn, що містять 40...60 %Sn. Легування основної системи Cu-Sn алюмінієм чи нікелем трохи погіршує відтворювання результатів.

Результати тривалих досліджень на вологостійкість ($T = 308 \text{ K}$, вологість 98 %, $\tau = 504$ години) приведені в табл. 3 і 4, аналіз яких дозволяє відзначити наступне.

Найкращі показники по $\langle \Delta R_k \rangle$ і S^2 мають сплави Cu-Sn (60...62 % Sn), а також система Cu-Sn-Ni (10...12 % Sn, 1...2 % Ni і 60...62 % Sn, 1,0 % Ni). Слід зазначити кореляцію з результатами досліджень на зносостійкість цих же систем [1,2,3], а також з даними корозійно-електрохімічних досліджень [4,6,7].

У табл. 5 приведений порівняльний аналіз вологостійкості конденсованих систем Cu-Sn, Cu-Sn-Ni і Cu-Sn-Al, виконаний за методикою ранжирування (див. вище). У колонках приведені вже не абсолютні значення $\langle \Delta R_k \rangle$ і S^2 , а відповідні їм ранги. Дані табл. 5 наочно показують, що отримані показники має сплав 5 (60...62 % Sn); близькі до нього характеристики мають системи 7 (Cu-Sn-Ni) і 8 (Cu-Sn-Al) відповідних сполук.

IV. Висновки

Проведені дослідження вологостійкості і методика обробки даних спостережень свідчить, поперше, про наявність кореляції між електричними і

фізико-хімічними характеристиками вивчених конденсованих систем. Зіставлення експериментальних даних сьогочасного дослідження з результатами електрохімічних досліджень [4,6,7] свідчать про чіткий поділ усього діапазону сполук систем Cu-Sn, Cu-Sn-Al і Cu-Sn-Ni по фізико-хімічних властивостях.

По-друге, за даними виміру електропараметрів можна зробити попередні висновки про очікуване корозійно-електрохімічне поведіння систем у різних умовах експлуатації чи при впливі різних зовнішніх факторів.

По-третє, використання методів математичної обробки результатів фізико-хімічних, електрофізичних і інших досліджень дає можливість оптимізувати технологічні параметри одержання функціональних конденсованих багатокомпонентних систем за критеріями "склад-властивість". Це, у свою чергу, дає можливість підійти до вибору того чи іншого складу конденсованої структури для конкретних умов експлуатації з науково обгрунтованих позицій.

Ляпіна О.В. – аспірант кафедри фізичної та колоїдної хімії;

Костржицький А.І. – завідуючий кафедрою фізичної та колоїдної хімії.

- [1] М.П. Кабанченко. *Исследование технологии нанесения и свойств функциональных покрытий из сплавов на основе меди взамен серебрения*: Автореф. дис... канд.техн.наук: 05.17.14 / МИЭТ. М., 23 с. (1984).
- [2] А.И. Костржицкий, О.В. Лебединский. *Многокомпонентные вакуумные покрытия*. Машиностроение, М. 208 с. 1987.
- [3] А.И. Костржицкий. Способы получения и свойства коррозионно-стойких вакуумных многокомпонентных плёнок и покрытий: *Автореф. дис... д-ра техн. наук*: 05.17.14 / НИФХИ им. Л.Я. Карпова. М., 37 с. 1988..
- [4] А.И. Костржицкий, Е.В. Ляпина. Влияние состава сплавов меди на коррозионную стойкость конденсированных систем // *Наукові праці ОНАХТ*, (25), сс. 206-212 (2003).
- [5] А.И. Костржицкий, Е.В. Ляпина, А.Д. Соколов. Коррозионно-стойкие конденсированные пленки сплавов меди. – "Композиционные материалы в промышленности" // *Тр. 23-й Межд. конф.* (Ялта), сс. 60-61 (2003).
- [6] Е.В. Ляпина, А.И. Костржицкий. Особенности электрохимического поведения конденсированных пленок сплавов медь-олово в кислых средах. // *Наукові праці ОНАХТ*, (27), сс. 293-299 (2004).
- [7] А.І. Костржицький, О.В. Ляпіна. Особливості електродних процесів на поверхні конденсатів мідь-олово у нейтральних середовищах // *Фізика і хімія твердого тіла*, **5**(3), сс. 564-571 (2005).
- [8] Е.В. Ляпина, А.И. Костржицкий, А.Д. Соколов. Электрофизические свойства конденсационных пленок сплавов медь-олово в системе "пленка – скользящий контакт" // *Проблеми техніки*, (4), сс. 22-28 (2004).
- [9] А.И. Костржицкий, В.Ф. Карпов, М.П. Кабанченко, О.Н. Соловьёва. *Справочник оператора установок по нанесению покрытий в вакууме*. Машиностроение, М. 178 с. 1991.
- [10] Е.В. Ляпина, А.И. Костржицкий, А.Д. Соколов. Особенности структуры и фазового состава конденсированных структур медь-олово и их аналогов. "Эффективность реализации научного, ресурсного и промышленного потенциала в современных условиях" / *Тр. 5-й Межд. науч.-практ. конф.* Славское, сс. 95-97 (2005).
- [11] Я.Д. Колкер. *Математический анализ точности механической обработки деталей*. Техника, Киев, 200 с (1976).

E.V. Lyapina, A.I. Kostrzhytskiy

To a Problem on Moisture Resistance of Condensed of the Systems Cuprum-Tin and Their Clones

*Odessa National Academy of Food Technologies,
112, Kanatna Str., Odessa, 65039, Ukraine
E-mail: profAIK@ipss.net*

The results of research of the stability of moisture condensed tapes of alloys are resulted on the basis of copper in a moist atmosphere. In grain changes of contact resistance the most proof and most stable systems of Cu-Sn, Cu-Sn-Ni and Cu-Sn-Al are certain. With the use of method of grade correlation the comparative analysis of the condensed systems is conducted and optimum composition is chosen on the parameter of "stability of moisture".